



УДК 577.217.337.2

## СРАВНИТЕЛЬНЫЙ АНАЛИЗ УЧАСТКОВ ВЗАИМОДЕЙСТВИЯ тРНК<sup>ТуГ</sup> ИЗ *Thermus thermophilus* И *Escherichia coli* С ГОМОЛОГИЧНЫМИ АМИНОАЦИЛ-тРНК-СИНТЕТАЗАМИ МЕТОДАМИ ХИМИЧЕСКОЙ МОДИФИКАЦИИ И НУКЛЕАЗНОГО ГИДРОЛИЗА

© 1998 г. С. П. Егорова, А. Д. Яремчук, И. А. Крикливый, М. А. Тукало<sup>#</sup>

Институт молекулярной биологии и генетики НАН Украины, 252143, Киев, ул. Заболотного, 150

Поступила в редакцию 02.12.97 г.

Принята к печати 07.04.98 г.

Определена нуклеотидная последовательность тРНК<sup>ТуГ</sup> из экстремального термофилла *Thermus thermophilus* HB-27, живущего при 75°C. Она имеет длину 86 нт, и степень ее гомологии с тРНК<sup>ТуГ</sup> из *Escherichia coli* составляет 52%. Методами химической модификации и нуклеазного гидролиза проведен сравнительный анализ участков взаимодействия тРНК<sup>ТуГ</sup> из *T. thermophilus* и *E. coli* с гомологичными аминоацил-тРНК-синтетазами. Показано, что тРНК<sup>ТуГ</sup> контактирует с гомологичным ферментом в области антикодонового стебля (с 5'-стороны), в антикодоне, в районах вариабельного стебля и вариабельной петли (с 5'-стороны) и акцепторного стебля (с 3'-стороны). В пространственной структуре тРНК<sup>ТуГ</sup> эти участки расположены в области вариабельного стебля L-формы. В тРНК<sup>ТуГ</sup> из *E. coli* при образовании комплекса с гомологичной синтетазой обнаружена индукция дополнительных разрывов фосфодиэфирных связей эндонуклеазой V<sub>1</sub> с 3'-стороны антикодонового стебля и 5'-стороны Т-стебля, что указывает на возможное изменение конформации тРНК при взаимодействии с ферментом.

**Ключевые слова:** аминоацил-тРНК-синтетаза; тРНК; РНК-белковые взаимодействия.

Точность биосинтеза белка зависит от правильного аминоацилирования тРНК соответствующими аминокислотами. Эта реакция катализируется аминоацил-тРНК-синтетазами, которые специфически узнают гомологичную аминокислоту и тРНК. Для понимания механизма специфического узнавания тРНК синтетазами необходимо знание пространственной структуры соответствующих РНК-белковых комплексов. К настоящему времени детальная структурная информация о тРНК-синтетазных комплексах известна для трех систем. Это глутаминовая система из *Escherichia coli* для 1-го структурного класса синтетаз [1, 2], а также аспартиловая система из дрожжей [3, 4] и сериновая система из *Thermus thermophilus* [5, 6] для синтетаз 2-го класса. Несмотря на то что структуры этих трех комплексов демонстрируют очень разные типы взаимодействия тРНК и фермента, можно сделать обобщение, что синтетазы двух разных классов взаимодействуют с тРНК с противоположных сторон: синтетазы 1-го класса – со стороны D-петли, а синтетазы 2-го класса – со стороны вариабельной петли.

Изучаемая нами тирозил-тРНК-синтетаза относится к 1-му структурному классу синтетаз [7]. В случае прокариот тРНК<sup>ТуГ</sup> имеет длинную вариабельную петлю. К настоящему времени рентгеноструктурные данные по комплексу тирозил-тРНК-синтетазы с тРНК<sup>ТуГ</sup> отсутствуют и тип взаимодействия не установлен. Целью данной работы было сравнительное изучение участков взаимодействия тРНК<sup>ТуГ</sup> из *T. thermophilus* и *E. coli* с гомологичными тирозил-тРНК-синтетазами с использованием методов химической модификации и нуклеазного гидролиза.

На первом этапе была определена первичная структура тРНК<sup>ТуГ</sup> из экстремального термофилла *T. thermophilus* HB-27, живущего при 75°C. Для этой цели применяли два взаимодополняющих метода: метод быстрого гель-секвенирования с использованием специфической химической деградации по Питти [8] и метод нуклеазного сиквенса [9, 10]. Совокупность данных, полученных этими методами, позволила установить полную нуклеотидную последовательность термофильной тРНК<sup>ТуГ</sup> (рис. 1). тРНК<sup>ТуГ</sup> из *T. thermophilus* HB-27 отличается по первичной структуре от своего гомолога из *T. thermophilus* HB-8 в положении 9, где в последнем случае находится гуанозин [11] (в случае HB-27 это уридин). При сравнении нуклеотидной последовательности тРНК<sup>ТуГ</sup> из *T. ther-*

<sup>#</sup> Автор для переписки (e-mail: tukalo@imbg.kiev.ua).

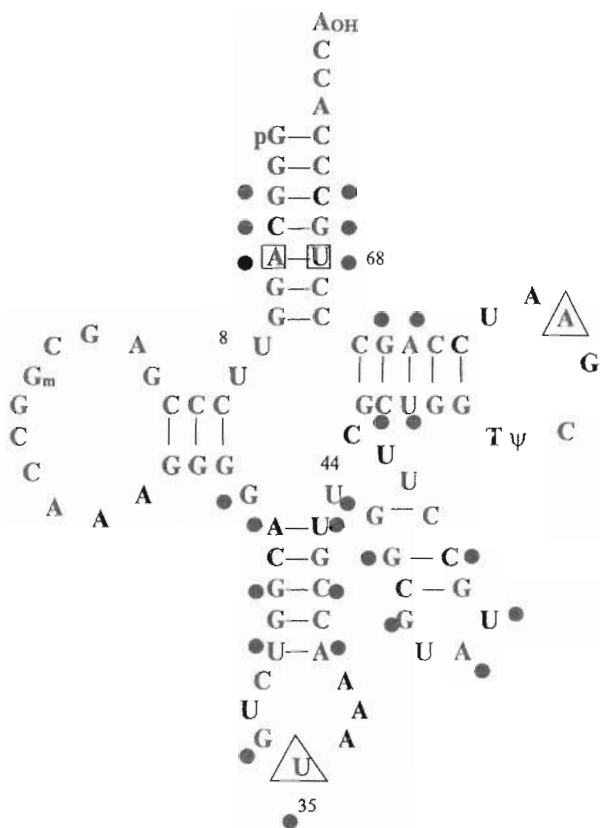


Рис. 1. Первичная структура тРНК<sup>Tyr</sup> из *T. thermophilus* HB-27. Точками обозначены нуклеотиды, которыми термофильная тРНК<sup>Tyr</sup> отличается от тРНК<sup>Tyr</sup> из *E. coli*. В прямоугольной рамке – нуклеотиды, которыми тРНК<sup>Tyr</sup> из *T. thermophilus* отличается от нуклеотидных остатков, общих для тРНК<sup>Tyr</sup> из *E. coli*, *B. stearothermophilus*, митохондрий *N. crassa* и митохондрий дрожжей, в треугольной – модифицированные нуклеотиды.

*mophilus* HB-27 с ранее установленной структурой тРНК<sup>Tyr</sup> из *E. coli* [12] обнаружены различия в 26 положениях: 6 – в акцепторном стебле, 1 – между D-стеблем и антикодоновым стеблем, 6 – в антикодоновом стебле, 2 – в антикодоновой петле, 1 – между антикодоновым стеблем и вариабельным стеблем, 2 – в вариабельном стебле, 3 – в вариабельной петле, 4 – в Т-стебле, 1 – в Т-петле.

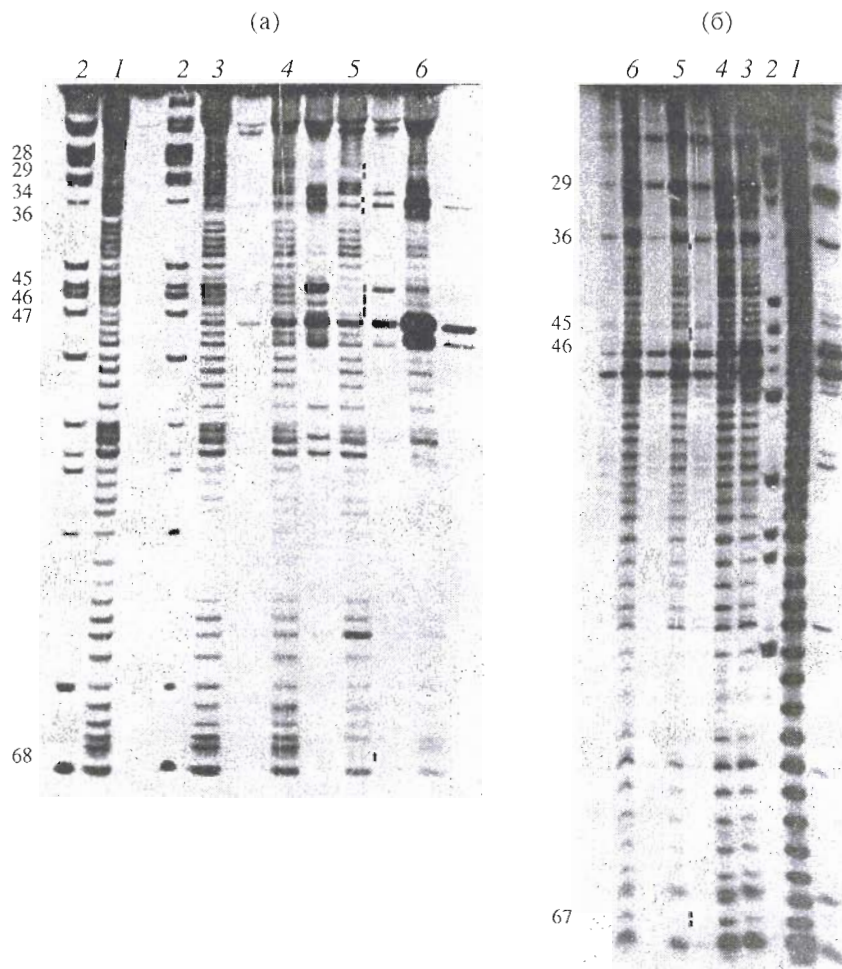
Сравнение нуклеотидных остатков, общих для тРНК<sup>Tyr</sup> из *E. coli*, *Bacillus stearothermophilus*, *B. subtilis*, митохондрий *Neurospora crassa* и дрожжей [13] с нуклеотидными остатками в соответствующих положениях тРНК<sup>Tyr</sup> из *T. thermophilus* HB-27 показало, что они различаются в 5-м и 68-м положениях акцепторного стебля. Одним из наиболее важных различий между первичными структурами тРНК<sup>Tyr</sup> из *T. thermophilus* и *E. coli* является присутствие в 1-м положении антикодона термофильной тРНК<sup>Tyr</sup> гуанозина. В случае мезофильной тРНК в этом положении находится

куюозин (Q), характерный для первой позиции антикодонов таких тРНК, как тРНК<sup>Asp</sup>, тРНК<sup>Asn</sup>, тРНК<sup>His</sup> и тРНК<sup>Tyr</sup> бактерий и дрожжей [14]. Во 2-м положении антикодона и 58-м положении Т-петли термофильной тРНК<sup>Tyr</sup> находятся модифицированные нуклеозиды (природа модификации не установлена), тогда как в случае *E. coli* – уридин и аденоzin соответственно.

Еще одно различие в антикодоновом стебле следует обратить внимание: замена пары A<sup>31</sup> – Ψ<sup>39</sup> в тРНК<sup>Tyr</sup> *E. coli* на пару U<sup>31</sup>–A<sup>39</sup> в случае *T. thermophilus*. Пара A<sup>31</sup> – Ψ<sup>39</sup> в антикодоновом стебле способствует большей подвижности антикодоновой петли в молекуле мезофильной тРНК<sup>Tyr</sup>.

Участки взаимодействия тРНК<sup>Tyr</sup> *T. thermophilus* и *E. coli* с гомологичными и гетерологичными аминоацил-тРНК-сингтетазами изучали методом сравнительного анализа продуктов химической модификации и нуклеазного гидролиза свободных тРНК и их комплексов с ферментами. Ранее было показано, что алкилирование нитрозоэтилмочевиной фосфатных групп тРНК затруднено в местах контакта с ферментом [15, 16]. Поэтому химическая модификация тРНК в присутствии аминоацил-тРНК-сингтетазы велась как в условиях стабилизации пространственной структуры тРНК [15, 16], так и в условиях, способствующих образованию специфического комплекса тРНК–белок (см. "Экспериментальную часть"). Соотношение белок–тРНК составляло 4 : 1. Полученные образцы после расщепления тРНК анализировали методом быстрого гель-секвенирования в ПААГ (рис. 2).

Интенсивности электрофоретических полос, отражающие степень модификации фосфатов, определяли с помощью сканирующего денситометра. Из кривой расчета денситограмм видно (рис. 3), что термофильная тирозил-тРНК-сингтетаза защищает от алкилирования фосфаты тРНК<sup>Tyr</sup>, расположенные в четырех районах: 3'-фосфаты нуклеотидов в позициях 28 и 29 с 5'-стороне антикодонового стебля, 34 и 36 антикодона, 45, 46 и 47 вариабельной ветви, в позиции 68 с 3'-стороне акцепторного стебля. Для мезофильной пары места защиты также расположены в четырех районах: 3'-фосфаты нуклеотидов в положениях 29 с 5'-стороне антикодонового стебля, 36 – в антикодоне, 45 и 46 вариабельной ветви, 67 с 3'-стороне акцепторного стебля. Положение этих фосфатов в структуре тРНК<sup>Tyr</sup> *T. thermophilus* и *E. coli* показано на рис. 4. Данным методом не удалось получить информацию о фосфатах акцепторного стебля тРНК, контактирующих с белком, так как количественного осаждения коротких олигонуклеотидов экспериментально не удается достичь. В мезофильной и термофильной тРНК<sup>Tyr</sup> отсутствует информация о 3'-фосфате нуклеотида Gm в 18-м положении, содержащего



**Рис. 2.** Радиоавтограф ПААГ после разделения фрагментов, полученных в результате расщепления 3'-<sup>32</sup>P-меченых тРНК<sup>Туг</sup> из *T. thermophilus* (а) и *E. coli* (б), алкилированных нитрозоэтилмочевиной в денатурирующих (1) и стабилизирующих условиях (3, 4), в присутствии гомологичной Туг-тРНК-сингетазы (5), Pro-тРНК-сингетазы (6а) или Lys-тРНК-сингетазы (6б). Дорожки 2 (а, б) – тРНК, частично гидролизованная рибонуклеазой Т<sub>1</sub>. Цифры слева – номера 3'-фосфатов соответствующих нуклеотидов.

остаток 2'-*O*-метилрибозы, что препятствует расщеплению этого фосфотриэфира. Также отсутствует информация о реакционной способности фосфатов термофильной тРНК<sup>Туг</sup>, расположенных в двух зонах: 3'-фосфаты нуклеотидов 33 и 35 антикодоновой петли, а также 47В, 47Д вариабельной ветви. Для мезофильной тРНК<sup>Туг</sup> это 3'-фосфаты нуклеотидов: 28-го с 5'-стороны антикодонового стебля, 35-го – антикодона, 47-го и 47В-го – вариабельной ветви. В вышеуказанных местах в ходе эксперимента в молекуле тРНК возникают спонтанные разрывы, которые не дают возможность реально определить степень модификации фосфатных остатков. При разделении фрагментов термофильной тРНК<sup>Туг</sup> наблюдался эффект “сжатия” электрофоретических полос, соответствующих району 3'-стороны антикодонового стебля, 5'-стороны вариабельного и 5'-стороны Т-стебля (U<sup>43</sup> и U<sup>44</sup>, G<sup>49</sup> и C<sup>50</sup>, U<sup>51</sup> и G<sup>52</sup>),

и эффект нарушения подвижности электрофоретических полос, соответствующих району 3'-стороны вариабельного и 5'-стороны Т-стебля (между положениями 47Н и 50).

Для контроля специфичности образования комплекса тРНК-сингетаза была проведена реакция алкилирования тРНК<sup>Туг</sup> *T. thermophilus* и *E. coli* в присутствии пролил-тРНК-сингетазы и лизил-тРНК-сингетазы из *T. thermophilus* (рис. 2). Обнаружено, что неспецифические сингетазы не защищают тРНК<sup>Туг</sup> *T. thermophilus* и *E. coli* от модификаций.

Для получения дополнительной и независимой информации о местах контакта термофильной и мезофильной тРНК<sup>Туг</sup> с гомологичными сингетазами использовали также метод сравнения продуктов нуклеазного гидролиза тРНК в свободном виде и в составе комплексов с сингетазами. Для гидролиза, который вели в условиях, оптималь-

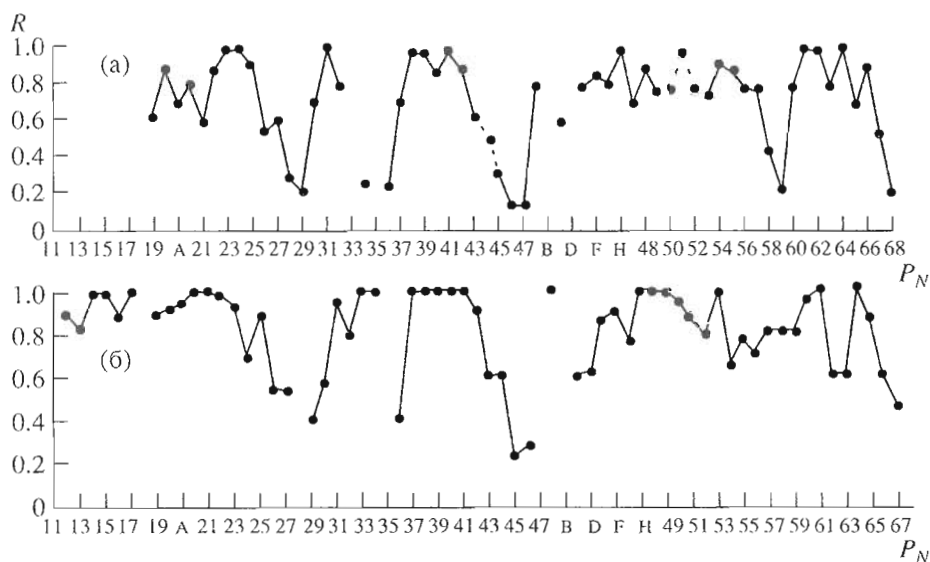


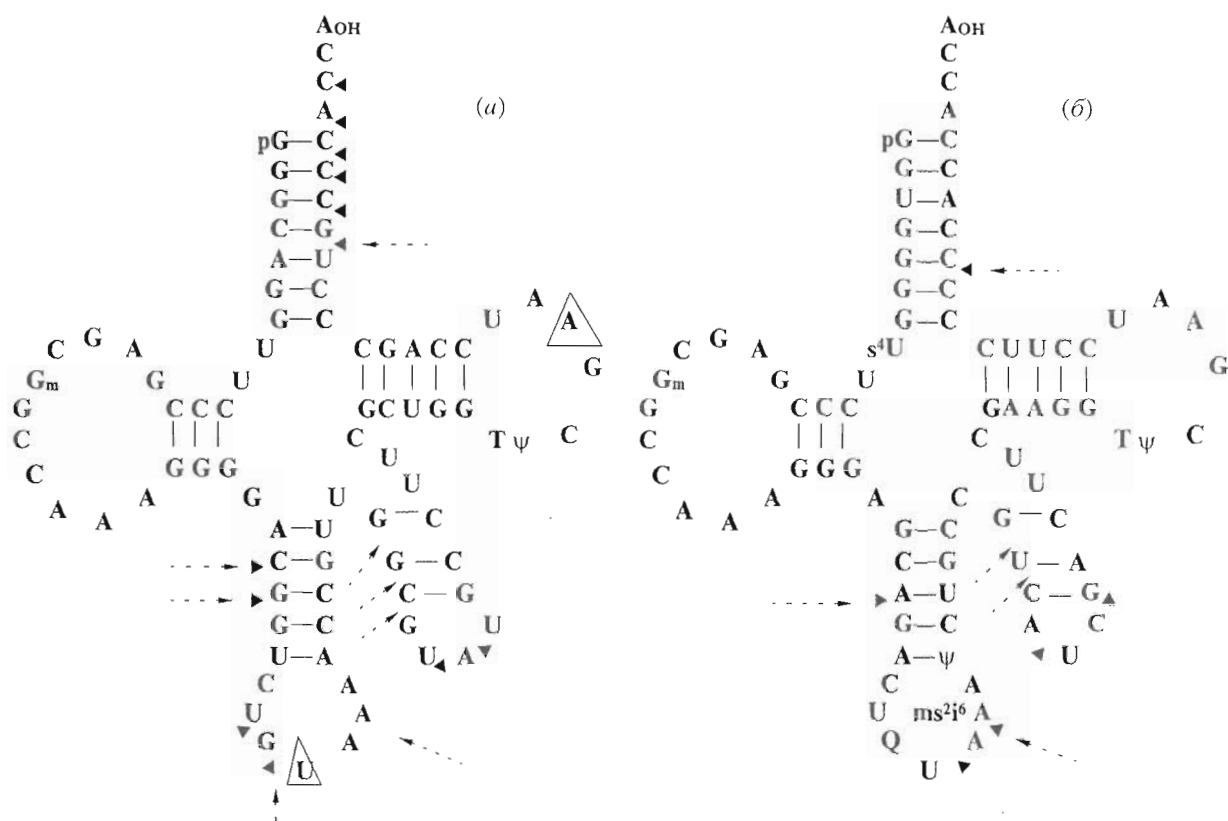
Рис. 3. Отношение реакционной способности остатков фосфорной кислоты ( $R$ ) в тРНК<sup>Тир</sup> из *T. thermophilus* (а) или *E. coli* (б) при алкилировании нитрозоэтилмочевиной в присутствии гомологичной Тир-тРНК-синтетазы к реакционной способности соответствующих фосфатов в свободной тРНК.  $P_N$  – номера фосфатов.

ных для образования тРНК-синтетазных комплексов (см. «Экспериментальную часть»), применяли РНКазы  $P_1$ , PhyM и  $V_1$ . Соотношение белок-тРНК составляло 4 : 1. Полученные фрагменты тРНК анализировали гель-электрофорезом в ПААГ (рис. 5). От гидролиза тРНК<sup>Тир</sup> *T. thermophilus* рибонуклеазами  $P_1$ , PhyM и  $V_1$  гомологичная синтетаза защищает фосфодиэфирные связи между нуклеотидами 28 и 29, 29 и 30 с 5'-стороны антикодонового стебля, 33 и 34, 34 и 35 антикодоновой петли, 47B и 47C, 47C и 47D вариабельной петли, 68 и 69, 69 и 70, 70 и 71, 71 и 72, 72 и 73, 73 и 74 с 5'-стороны акцепторного стебля. Для мезофильной пары защищаются фосфодиэфирные связи между нуклеотидами 29 и 30 с 5'-стороны антикодонового стебля, 35 и 36, 36 и 37 антикодоновой петли, 47A и 47B, 47C и 47D вариабельной петли, 67 и 68 с 3'-стороны акцепторного стебля. В случае гидролиза тРНК<sup>Тир</sup> *E. coli* нуклеазой  $V_1$  в присутствии гомологичной синтетазы наблюдалась сильная индукция разрывов фосфодиэфирных связей между нуклеотидами 40 и 41 (с 3'-стороны антикодонового стебля), а также 52 и 53 (в Т-стебле). Возможно, что в молекуле тРНК при взаимодействии с гомологичной синтетазой происходят определенные конформационные изменения. В случае термофильной тРНК<sup>Тир</sup> индукция разрывов фосфодиэфирных связей не наблюдалась.

Положение фосфатов в структуре тРНК<sup>Тир</sup> *T. thermophilus* и *E. coli*, контактирующих с гомологичной синтетазой и выявленных при нуклеазном гидролизе, показано на рис. 4. Видно, что места контакта тРНК с синтетазой, как и в случае использования метода химической модификации,

расположены в основном в тех же четырех зонах: с 5'-стороны антикодонового стебля, в антикодоне, в вариабельной петле и с 3'-стороны акцепторного стебля. Как и следовало ожидать, результаты, полученные с использованием двух методов, не полностью совпадают, что связано с различной специфичностью и размерами «инструментов». При сравнении мест контактов, полученных для термофильной и мезофильной тРНК-синтетазных пар, можно отметить большую протяженность участка с 3'-стороны акцепторного стебля тРНК<sup>Тир</sup> *T. thermophilus*, защищаемого гомологичной синтетазой от гидролиза  $V_1$ -нуклеазой.

Обобщая результаты, полученные с использованием двух различных методов на двух парах тРНК<sup>Тир</sup>-тиразил-тРНК-синтетаза, можно заключить, что в тРНК<sup>Тир</sup> из *T. thermophilus* и *E. coli* в контакте с гомологичной синтетазой находится несколько удаленных друг от друга в первичной структуре участков. Их расположение на модели пространственной структуры тРНК<sup>Тир</sup> однозначно указывает на то, что синтетаза взаимодействует с тРНК со стороны вариабельного стебля. К такому же заключению пришли Bedouelle и др. [17, 18] при создании модели комплекса тиразил-тРНК-синтетазы и тРНК<sup>Тир</sup> из *B. stearothermophilus*. Модель была создана на основе анализа кристаллической структуры тиразил-тРНК-синтетазы из *B. stearothermophilus* и дрожжевой тРНК<sup>Phe</sup> с использованием многочисленных данных по мутагенезу тРНК и фермента [18, 19]. Авторы модели предполагают, что тиразил-тРНК-синтетаза подходит к тРНК со стороны вариабельной петли и большой борозды акцепторного стебля тРНК. Следует также отметить, что акцепторный конец тРНК



**Рис. 4.** Структура тРНК<sup>Tyr</sup> из *T. thermophilus* (а) и *E. coli* (б) в виде клеверного листа: стрелками показаны фосфаты тРНК, защищаемые гомологичной тирозил-тРНК-сингтетазой от алкилирования нитрозоэтилмочевиной (к защищаемым фосфатам относятся те, у которых относительная реакционная способность падала более чем на 50%); в треугольных рамках – фосфаты тРНК, защищаемые тирозил-тРНК-сингтетазой от гидролиза нуклеазами P<sub>I</sub>, V<sub>I</sub> и PhuM (см. рис. 5).

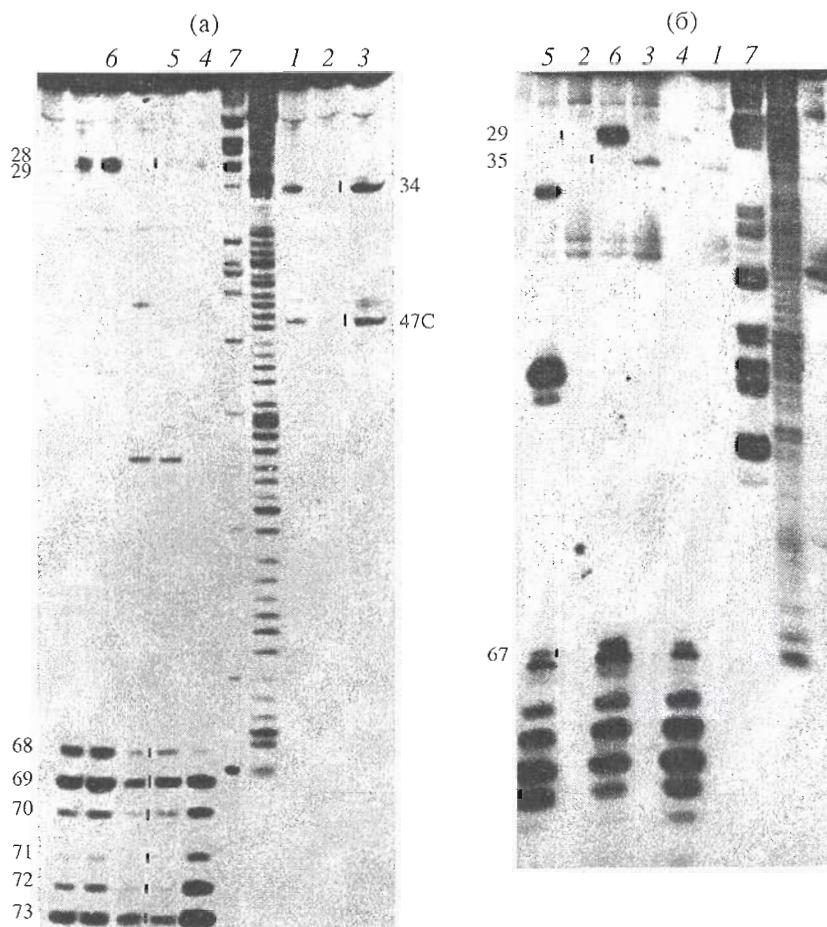
в этой модели имеет конформацию, обнаруженную для тРНК<sup>Asp</sup> в случае образования комплекса с сингтетазой 2-го структурного класса. Кроме того, сама модель не объясняет, каким образом вариабельный стебель тРНК взаимодействует с ферментом, так как модель построена на использовании структуры тРНК<sup>Phe</sup> с короткой вариабельной петлей. На наш взгляд, для реализации взаимодействия вариабельного стебля тРНК<sup>Tyr</sup> с сингтетазой с одновременным входжением акцепторного стебля в активный центр, как предлагает Bedouelle и др., необходимы некоторые конформационные изменения тРНК. Возможно, что наблюданная нами сильная индукция нуклеазой V<sub>I</sub> разрывов фосфодиэфирных связей в двух местах в тРНК<sup>Tyr</sup> из *E. coli* при комплексообразовании с гомологичной сингтетазой и указывает на существование необходимых для этого конформационных изменений тРНК.

Следует подчеркнуть, что наши данные об участии вариабельного стебля тРНК<sup>Tyr</sup> во взаимодействии с тирозил-тРНК-сингтетазой хорошо коррелируют с данными, полученными другими методами [20–22]. Однако взаимодействие тРНК<sup>Tyr</sup> с

сингтетазой со стороны вариабельного стебля не согласуется с концепцией о существовании в двух структурных классах сингтетаз двух различных типов взаимодействия с тРНК, что вытекает из различной структуры их каталитических доменов. Кроме того, существуют подлинные биохимические данные, указывающие на то, что тирозил-тРНК-сингтетаза из *E. coli* аминоацилирует тРНК по 2'-ОН-группе концевой рибозы [23]. Это свидетельствует о том, что стереохимия аминоацилирования тРНК<sup>Tyr</sup> из *E. coli* имеет типичный для 1-го структурного класса характер. Очевидно, что лишь изучение структуры комплекса тирозил-тРНК-сингтетазы с тРНК<sup>Tyr</sup> методом рентгеноструктурного анализа позволит решить создавшуюся дилемму. В настоящее время наши усилия направлены на получение кристаллов комплекса тРНК<sup>Tyr</sup> и тирозил-тРНК-сингтетазы из *T. thermophilus*, пригодных для рентгеноструктурного анализа.

## ЭКСПЕРИМЕНТАЛЬНАЯ ЧАСТЬ

Клетки *Thermus thermophilus* HB-27 выращивали в среде, содержащей пептон (2 %), дрожжевой



**Рис. 5.** Радиоавтограф ПААГ после разделения фрагментов, полученных в результате гидролиза 3'-<sup>32</sup>P-меченой тРНК<sup>Тг</sup> из *T. thermophilus* (а) и *E. coli* (б) нуклеазой P<sub>1</sub> (1), ею же в присутствии гомологичной Тг-тРНК-сингтетазы (2) и гетерологичной Pro-тРНК-сингтетазы (3); нуклеазой V<sub>1</sub> (4) и ею же в присутствии гомологичной Тг-тРНК-сингтетазы (5) и гетерологичной Lys-тРНК-сингтетазы (6а) или Pro-тРНК-сингтетазы (6б). 7 – тРНК, частично гидролизованная нуклеазой T<sub>1</sub>.

экстракт (1 %) и NaCl (0,2 %), pH 7,0, при 74–76°C и интенсивной аэрации со скоростью 200 об/мин.

Суммарные препараты тРНК из *T. thermophilus* получали методом, который включает в себя фенольную экстракцию РНК из биомассы и депротеинизацию смесями фенол–хлороформ (1 : 1) и хлороформ–изоамиловый спирт (9 : 1) [24]. Для освобождения тРНК от белков и примесей нуклеотидной и полисахаридной природы использовали хроматографию на колонке с DEAE-целлюлозой (Whatman, Англия). Элюцию примесей проводили вначале 0,5 M NaCl в 0,0125 M Трис-HCl-буфере, затем 0,3 M NaCl в том же буфере. тРНК элюировали 1 M NaCl, осаждали добавлением 2,5 объема этилового спирта в присутствии 2 % ацетата натрия и оставляли на 17–20 ч при 4°C.

Транспортную РНК<sup>Тг</sup> получали из суммарной тРНК, используя последовательно хроматографию на BD-целлюлозе (Serva, ФРГ), 5PW и СЗ (Beckman, США) и, наконец, ВЭЖХ (оборудование “Gold System” – Beckman, США).

Препарат тРНК<sup>Тг</sup> из *E. coli* – производства Sigma Chemical Company (США).

Тирозил-тРНК-сингтетазу из *E. coli* выделяли с использованием хроматографий на DEAE-сепарозе и гепарин-сепарозе (Pharmacia, Швеция), как в работе [25]. Тирозил-тРНК-сингтетазу из *T. thermophilus* выделяли методами, описанными нами ранее [26]. В работе использовали [ $\alpha$ -<sup>32</sup>P]ATP и [ $\gamma$ -<sup>32</sup>P]ATP с уд. акт. 2000–3000 Ки/ммоль, [ $5'$ -<sup>32</sup>P]pCp с уд. акт. 3000 Ки/ммоль (Amersham, Англия); T<sub>1</sub>-РНКазу (из *Aspergillus oryzae*; КФ 3.1.27.3; Sankyo, Япония); щелочную фосфатазу *E. coli* (КФ 3.1.3.1; Worthington, США); T4-полинуклеотидкиназу (КФ 2.7.1.78; Boehringer, ФРГ); тРНК-нуклеотидилтрансферазу (КФ 2.7.2.1), любезно предоставленную R. Giege (Институт молекулярной и клеточной биологии, Страсбург); нуклеазу P<sub>1</sub> (из *Penicillium citrinum*, КФ 3.1.30.1; Calbiochem, США); РНКазы V<sub>1</sub> (из *Cobra venom*), PhyM (из *P. polycephalum*), U<sub>2</sub> (из *Ustilago sphaerogena*),

РНКазу из *Bacillus cereus*, CL<sub>3</sub> (из *Chicken liver*) – производства Pharmacia (Швеция). Нитрозоэтилмочевина была синтезирована А.Г. Терентьевым (ИМБиГ НАН Украины).

тРНК метили по 3'-концу с помощью [ $5'$ -<sup>32</sup>P]рСр и РНК-лигазы (Boehringer, ФРГ) [27], [ $\alpha$ -<sup>32</sup>P]АТР и тРНК-нуклеотидилтрансферазы [28], по 5'-концу – в реакции кинирования [29]. Для секвенирования использовали два метода: специфическую химическую деградацию [8] и ферментативное секвенирование, основанное на гидролизе тРНК специфическими эндонуклеазами [9,10].

Ферментативное секвенирование тРНК<sup>Туг</sup> из *T. thermophilus* проводили 15 мин при 55°C в 5 мкл буфера. Для РНКаз T<sub>1</sub> и PhyM использовали 0.02 М Na-цитрат (рН 5.0), 1 М EDTA, 7 М мочевину; для U<sub>2</sub> – 0.02 М Na-цитрат (рН 3.5), 1 М EDTA, 7 М мочевину; для РНКазы из *B. cereus* – 0.02 М Na-цитрат (рН 5.0), 1 М EDTA; для РНКазы CL<sub>3</sub> – 10 мМ Na-fosфат (рН 6.5) и 4.2 М мочевину. Для остановки реакции к пробам добавляли краску для образцов. Электрофоретическое разделение фрагментов тРНК осуществляли в 12.5 и 20% ПААГ, содержащем 7 М мочевину. На основании анализа авторадиограмм ПААГ была установлена нуклеотидная последовательность тРНК<sup>Туг</sup> из *T. thermophilus* HB-27.

**Сравнительный анализ продуктов химической модификации тРНК и ее комплекса с аминоацил-тРНК-сингтетазой.** Меченую тРНК алкилировали нитрозоэтилмочевиной в условиях, стабилизирующих пространственную структуру молекулы, как в работах [15, 16], с небольшими изменениями. тРНК<sup>Туг</sup> из *T. thermophilus* модифицировали 2 ч при 37°C, тРНК<sup>Туг</sup> из *E. coli* – 2 ч при 23°C. Алкилирование тРНК<sup>Туг</sup> из *T. thermophilus* и *E. coli* (0.8 мкМ) в присутствии гомологичной или гетерологичной аминоацил-тРНК-сингтетазы (3.2 мкМ) проводили в течение 2 ч при 37°C (для *T. thermophilus*) или 23°C (для *E. coli*) в 25 мкл 50 мМ Трис-HCl (рН 7.9), содержащего 5 мМ MgCl<sub>2</sub>, 2.5 мМ 2-меркаптоэтанол, добавляя 2.5 мкл насыщенного спиртового раствора нитрозоэтилмочевины. Реакцию останавливали добавлением 3 мкл 3 М ацетата (рН 5.5). Аминоацил-тРНК-сингтетазы удаляли обработкой реакционной смеси водонасыщенным фенолом. тРНК осаждали добавлением 100 мкл этилового спирта. В контрольном эксперименте вместо этанола добавляли нитрозоэтилмочевину. Алкилирование тРНК в денатурирующих условиях проводили 2 мин при 80°C в 25 мкл 0.3 М натрий-какодилатного буфера (рН 8.0), содержащего 0.1 мМ EDTA. Полинуклеотидную цепь расщепляли по модифицированным фосфатам инкубированием в течение 5 мин в Трис-HCl-буфере (рН 9.0) при 55°C, как в работе [30].

Фрагменты тРНК анализировали гель-электрофорезом в 12.5% ПААГ в 0.05 М Трис-борат-

ном буфере (рН 8.3), содержащем 0.001 М EDTA и 8 М мочевину. Отнесение электрофоретических полос осуществляли сравнением их подвижности с подвижностью фрагментов тРНК, полученных при частичном гидролизе РНКазой T1. Радиоавтографы гелей сканировали с помощью микроденситометра фирмы Joyce, Loeb (Англия).

Нуклеазный гидролиз меченой термофильной или мезофильной тРНК<sup>Туг</sup> (0.8 мкМ) в отсутствие или присутствии гомологичной или гетерологичной сингтетазы (32 мкМ) проводили в 30 мкл смеси, содержащей 25 мМ Трис-HCl (рН 7.2), 10 мМ MgCl<sub>2</sub>, 2.5 мМ 2-меркаптоэтанол, добавляя 2.6 ед. акт./мл нуклеазы P<sub>1</sub>, 0.3 ед. акт./мл нуклеазы V<sub>1</sub> или 0.26 ед. акт./мл нуклеазы PhyM. В последнем случае буфер был заменен на 25 мМ MOPS (рН 6.8). Инкубационную смесь выдерживали 10 мин при 37°C в случае термофильной пары и 30 мин на ледяной бане в случае мезофильной пары тРНК-сингтетаза. Для остановки реакции в инкубационную смесь добавляли равный объем фенола, встряхивали 4 мин, центрифугировали и отбирали водную фазу. Для осаждения тРНК добавляли 0.1 объема 3 М ацетата натрия, 10 мкг суммарной тРНК, 3 объема этилового спирта. Полученные образцы расщепленной тРНК анализировали гель-электрофорезом в 12.5 и 15% ПААГ в 0.05 М Трис-боратном буфере (рН 8.3), содержащем 1 мМ EDTA и 8 М мочевину.

Работа выполнена при частичной финансовой поддержке фонда Медицинского института им. Говарда Хьюза (грант № 75195-548201).

## СПИСОК ЛИТЕРАТУРЫ

1. Rould M.A., Perona J.J., Söll D., Steitz T.A. // Science. 1989. V. 246. P. 1135–1142.
2. Rould M.A., Perona J.J., Steitz T.A. // Nature. 1991. V. 352. P. 213–218.
3. Ruff M., Krishnaswamy S., Boeglin M., Poterszman A., Mitschler M., Podjarny A., Rees B., Thierry J.C., Moras D. // Science. 1991. V. 252. P. 1682–1689.
4. Cavarelli J., Rees B., Ruff M., Thierry J.C., Moras D. // Nature. 1993. V. 362. P. 181–184.
5. Biou V., Yaremchuk A., Tukalo M., Cusack S. // Science. 1994. V. 263. P. 1404–1410.
6. Cusack S., Yaremchuk A., Tukalo M. // EMBO J. 1996. V. 15. P. 2834–2842.
7. Eriani G., Delarue M., Poch O., Gangloff J., Moras D. // Nature. 1990. V. 347. P. 203–206.
8. Peattie D.A. // Proc. Natl. Acad. Sci. USA. 1979. V. 76. P. 1760–1764.
9. Lockard R. E., Alzner-Deweerd B., Heckman J. E., MacGee J., Tabor M.W., RajBhandary U.L. // Nucleic Acids Res. 1978. V. 5. P. 37–56.
10. Donis-Keller H., Maxam A. M., Gilbert W. // Nucleic Acids Res. 1977. V. 4. P. 2527–2538.

11. Weißhaar M., Ahmadian R., Sprinzl M., Satoh M., Kushiro A., Tomita K. // Nucleic Acids Res. 1990. V. 18. P. 1902.
12. Sprinzl M., Dank N., Nock S., Schön A. // Compilation of tRNA and tRNA Gene Sequences. 1991. P. 252.
13. Sprinzl M., Hartmann T., Weber J., Blank J., Zeidler R. // Nucleic Acids Res. 1989. V. 17. P. 1–72.
14. Спирин А.С. Молекулярная биология. Структура рибосом и биосинтез белка. М.: Высш. шк., 1986.
15. Vlassov V.V., Kern D., Giege R., Ebel J.P. // FEBS Lett. 1981. V. 123. P. 277–281.
16. Vlassov V.V., Giege R., Kern D., Romby P., Ebel J.P. // Eur. J. Biochem. 1983. V. 132. P. 537–544.
17. Bedouelle H. // Biochimie. 1990. V. 72. P. 589–598.
18. Labouze E., Bedouelle H. // J. Mol. Biol. 1989. V. 205. P. 729–735.
19. Bedouelle H., Winter G. // Nature. 1986. V. 320. P. 371–373.
20. Schoemaker H.J.P., Schimmel P.R. // J. Mol. Biol. 1974. V. 84. P. 503–513.
21. Ackerman E.J., Joachimiak A., Klinghofer V., Siggler P.B. // J. Mol. Biol. 1985. V. 181. P. 93–102.
22. Caprara M.G., Lehnert V., Lambowitz A.M., Westhof E. // Cell. 1996. V. 87. P. 1135–1145.
23. Fraser T.H., Rich A. // Proc. Natl. Acad. Sci. USA. 1975. V. 72. P. 3044–3048.
24. Brungraber E.F. // Biochem. Biophys. Res. Commun. 1962. V. 8. P. 1–3.
25. Егорова С.П., Яремчук А.Д., Тукало М.А. // Биополимеры и клетка. 1998. В печати.
26. Яремчук А.Д., Тукало М.А., Егорова С.П., Коноваленко А.В., Мацку Г.Х. // Укр. биохим. журн. 1990. Т. 62. С. 97–99.
27. Bruce A.G., Ulenbeck O.C. // Nucleic Acids Res. 1978. V. 5. P. 3665–3677.
28. Silberklang M., Gillum A. M., BajBhandary U. L. // Nucleic Acids Res. 1977. V. 4. P. 4091–4108.
29. Vlassov V.V., Giege R., Ebel J.P. // Eur. J. Biochem. 1981. V. 119. P. 51–59.
30. Vlassov V.V., Giege R., Ebel J.P. // FEBS Lett. 1980. V. 120. P. 12–16.

## Comparative Analysis of Interaction Sites of tRNA from *Thermus thermophilus* and *Escherichia coli* with Cognate Aminoacyl tRNA Synthetases by the Chemical Modification and Nuclease Hydrolysis Methods

S. P. Egorova, A. D. Yaremchuk, I. A. Kriklivyi, and M. A. Tukalo<sup>#</sup>

Institute of Molecular Biology and Genetics, National Academy of Sciences of Ukraine,  
ul. Zabolotnogo 150, Kiev, 252143 Ukraine

A nucleotide sequence of tRNA<sup>Tyr</sup> from the extreme thermophile *Thermus thermophilus* HB-27 living at 75°C was determined. It is 86 nt long and shares a 52% homology with tRNA<sup>Tyr</sup> from *Escherichia coli*. A comparative analysis of the interaction sites of tRNA<sup>Tyr</sup> from *T. thermophilus* and *E. coli* with the cognate aminoacyl-tRNA synthetases was accomplished by the chemical modification and nuclease hydrolysis approaches. The tRNA<sup>Tyr</sup> was shown to interact with the cognate enzyme in the anticodon stem (on the 5'-side), in the anticodon, in the variable stem and loop (on the 5'-side), and in the acceptor stem (on the 3'-side). These regions are located in the variable stem of the L-form. It was demonstrated that, upon forming the complex *E. coli* tRNA<sup>Tyr</sup>-cognate synthetase, endonuclease V<sub>1</sub> induces additional cleavages of phosphodiester bonds on the 3'-side of the anticodon stem and on the 5'-side of the T-stem. This implies that tRNA may change its conformation when it interacts with the enzyme.

*Key words:* aminoacyl-tRNA synthetase, tRNA, RNA–protein interaction

<sup>#</sup> To whom correspondence should be addressed; e-mail: tukalo@imbk.kiev.ua.